

# Obliczenia Naukowe- Lista 2

Szymon Skoczylas

8 listopada 2020

## Zadanie 1

### Cel zadania

Porównać wyniki zadania 5 z listy pierwszej z wynikami tych samych algorytmów, ale ze zmodyfikowanymi danymi wejściowymi. Z wektora  $x$  z  $x_4$  usunięta została ostatnia 9, a z  $x_5$  ostatnia 7.

### Wyniki i wykonanie

Do wykonania tego zadania został użyty program stworzony na potrzeby listy pierwszej. Wyniki zwracane przez program bez modyfikacji wektora  $x$ :

```
[szymo@szymoHost lista_1]$ julia zad5.jl
Float64:
1.0251881368296672e-10
-1.5643308870494366e-10
0.0
0.0

Float62
-0.4999443
-0.4543457
-0.5
-0.5
```

Wyniki zwracane po modyfikacji wektora  $x$ :

```
[szymo@szymoHost lista_2]$ julia zad1.jl
Float64:
-0.004296342739891585
-0.004296342998713953
-0.004296342842280865
-0.004296342842280865

Float32
-0.4999443
-0.4543457
-0.5
-0.5
```

## Wnioski

Po usunięciu wyspecyfikowanych w treści zadania wartości, nie widać zmian w wartościach zwracanych dla typu *Float32*. Natomiast, dla typu *Float64* wyniki zauważalnie odbiegają od tych z listy pierwszej. Brak zmian dla arytmetyki *Float32* jest wynikiem jej znacznie niższej precyzji niż arytmetyki *Float64*. Wysoka precyzja *Float64* pozwala na dużo dokładniejsze przechowywanie wartości wejściowej. Tak duża wrażliwość algorytmu na, wydawałoby się, małe zmiany pokazuje, że problem przedstawiony w poleceniu został źle uwarunkowany.

## Zadanie 2

### Cel zadania

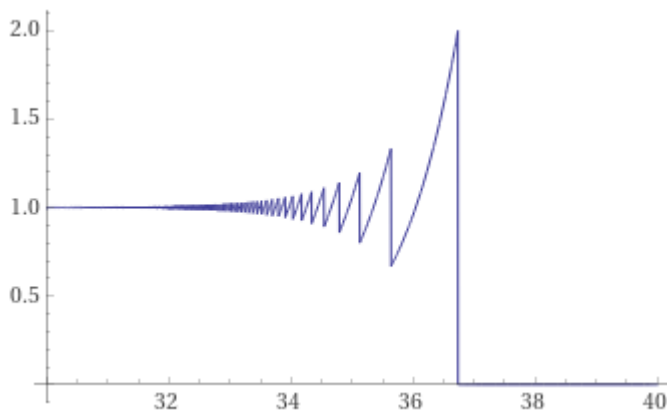
Stworzyć wykresy funkcji  $f(x) = e^x \ln(1 + e^{-x})$ , do tego celu użyte zostały: *WolframAlpha* oraz pakiet *Plots* dostępny w języku *Julia*. Następnie porównano wykresy z rzeczywistą wartością granicy.

### Wyniki i wykonanie

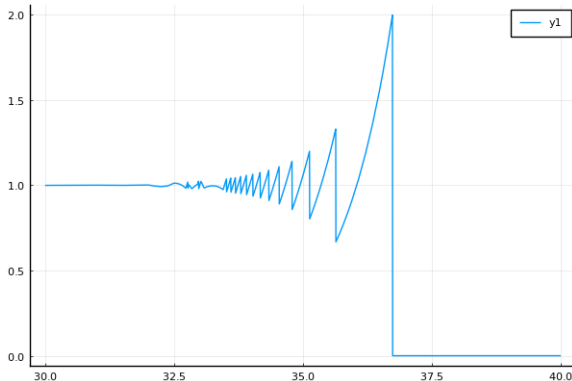
Za pomocą funkcji *limit()* dostępnej w języku *Julia*, otrzymano następujący wynik:

$$\lim_{x \rightarrow \infty} (e^x \ln(1 + e^{-x})) = 1$$

Wykres wygenerowany przez *WolframAlpha*:



Wykres otrzymany za pomocą pakietu *Plots*:



## Wnioski

Realna granica funkcji przy  $x \rightarrow \infty$  wynosi 1. Z wykresów stworzonych przez programy, widzimy, że funkcja załamuje się w pewnym momencie, przez co błędnie można określić wartość granicy jako 0. Anomalia ta jest następstwem tego, że dla większych  $x$  wartość  $e^{-x}$  będzie bardzo bliska 0 i w wyniku tego zostanie pochłonięta przez 1. Więc od pewnego momentu będziemy liczyć cały czas  $\ln(1)$ . Wyrażenie to jest równe 0, przez co, na wykresie występuje fałszywa zbieżność do 0.

## Zadanie 3

### Cel zadania

Celem tego zadania było rozwiązywanie równanie w postaci  $Ax = b$  dla macierzy Hilberta stopnia  $n$ , oraz losowej macierzy o stopniu  $n$  z określonym wskaźnikiem uwarunkowania ( $c = 1, 10, 10^3, 10^7, 10^{12}, 10^{16}$ ). Następnie policzyć błędy względne, oraz porównać otrzymane wyniki z dokładnymi.

### Wyniki i wykonanie

Następujący kod posłużył do wykonania zadania:

```
b = A*x
gauss_elimination, marix_inversion = A\b, inv(A)*b
elimination_err, inversion_err = norm(gauss_elimination - x) / norm(x), norm(marix_inversion - x) / norm(x)
```

Wyniki dla macierzy Hilberta:

Size: 1	Size: 7	Size: 13
Rank: 1	Rank: 7	Rank: 11
Cond: 1.0	Cond: 4.75367356583129e8	Cond: 3.344143497338461e18
Elimination err: 0.0	Elimination err: 1.8614175017153493e-8	Elimination err: 355.6363996139929
Inversion err: 0.0	Inversion err: 1.231617281152939e-8	Inversion err: 212.78257870436312
Size: 2	Size: 8	Size: 14
Rank: 2	Rank: 8	Rank: 11
Cond: 19.28147006790397	Cond: 1.5257575538060041e10	Cond: 6.200786263161444e17
Elimination err: 4.227603326225575e-16	Elimination err: 1.9217530132542664e-7	Elimination err: 3.5720053119125916
Inversion err: 1.4043333874306803e-15	Inversion err: 1.3503856270597747e-7	Inversion err: 1.7744875020766255
Size: 3	Size: 9	Size: 15
Rank: 3	Rank: 9	Rank: 12
Cond: 524.0567775860644	Cond: 4.931537564468762e11	Cond: 3.674392953467974e17
Elimination err: 6.312995352117186e-16	Elimination err: 5.09208671414057e-6	Elimination err: 9.583022643862336
Inversion err: 0.0	Inversion err: 9.542631496737485e-6	Inversion err: 5.293638550842115
Size: 4	Size: 10	Size: 16
Rank: 4	Rank: 10	Rank: 12
Cond: 15513.73873892924	Cond: 1.6024416992541715e13	Cond: 7.865467778431645e17
Elimination err: 2.1819484005185015e-15	Elimination err: 5.508778842434553e-5	Elimination err: 11.968066192267113
Inversion err: 4.547473508864641e-13	Inversion err: 0.0002289249459044258	Inversion err: 10.846229140698135
Size: 5	Size: 11	Size: 17
Rank: 5	Rank: 10	Rank: 12
Cond: 476607.25024259434	Cond: 5.222677939280335e14	Cond: 1.263684342666052e18
Elimination err: 8.99737540851766e-12	Elimination err: 0.005207147400142043	Elimination err: 5.455797564762254
Inversion err: 1.4911297558868156e-11	Inversion err: 0.008849600746399502	Inversion err: 8.982730231514317
Size: 6	Size: 12	Size: 18
Rank: 6	Rank: 11	Rank: 12
Cond: 1.4951058642254665e7	Cond: 1.7514731907091464e16	Cond: 2.2446309929189128e18
Elimination err: 1.8866554820446764e-10	Elimination err: 0.1407902677571603	Elimination err: 26.309523680963647
Inversion err: 3.5689314550268525e-10	Inversion err: 0.4039460424541017	Inversion err: 20.038300611698062

Wyniki dla macierzy losowej:

```

=====Random=====
Size: 5
Rank: 5
Cond: 1.0000000000000009
Elimination err: 9.930136612989092e-17
Inversion error: 1.2161883888976234e-16
-----
Size: 5
Rank: 5
Cond: 10.000000000000002
Elimination err: 3.060673659425244e-16
Inversion error: 1.4895204919483638e-16
-----
Size: 5
Rank: 5
Cond: 999.99999999899
Elimination err: 1.524292142868961e-14
Inversion error: 1.0173423748423966e-14
-----
Size: 5
Rank: 5
Cond: 9.99999990970213e6
Elimination err: 1.7047634239248736e-10
Inversion error: 1.4493590684128846e-10
-----
Size: 5
Rank: 5
Cond: 9.999680752938911e11
Elimination err: 2.6065230462531185e-5
Inversion error: 2.0464315383494188e-5
-----
Size: 5
Rank: 4
Cond: 1.0623570915296868e16
Elimination err: 0.3429441924599779
Inversion error: 0.4035971072740735
-----
Size: 10
Rank: 10
Cond: 1.000000000000001
Elimination err: 2.9163173068810656e-16
Inversion error: 2.764433037591714e-16
-----
Size: 10
Rank: 10
Cond: 9.99999999999993
Elimination err: 2.6272671962866383e-16
Inversion error: 3.020133145511626e-16
-----
Size: 10
Rank: 10
Cond: 999.999999998748
Elimination err: 1.8666973122958585e-14
Inversion error: 2.3084097155331706e-14
-----
Size: 10
Rank: 10
Cond: 9.99999996168027e6
Elimination err: 1.439022290098134e-10
Inversion error: 1.9949927470823405e-10
-----
Size: 10
Rank: 10
Cond: 1.0000653450181111e12
Elimination err: 3.069132756222314e-6
Inversion error: 8.56981313496181e-6
-----
Size: 10
Rank: 9
Cond: 8.755862883043767e15
Elimination err: 0.2735764853616137
Inversion error: 0.25215138759408995
-----
Size: 20
Rank: 20
Cond: 1.000000000000009
Elimination err: 4.1168171577819285e-16
Inversion error: 4.0943002132167223e-16
-----
Size: 20
Rank: 20
Cond: 9.99999999999993
Elimination err: 4.109325218620118e-16
Inversion error: 6.812283606835144e-16
-----
Size: 20
Rank: 20
Cond: 1000.0000000000005
Elimination err: 3.8432002101242446e-15
Inversion error: 4.348901033901985e-15
-----
Size: 20
Rank: 20
Cond: 9.99999993695859e6
Elimination err: 3.3302737818325257e-10
Inversion error: 3.431647770597666e-10
-----
Size: 20
Rank: 20
Cond: 1.000005104910776e12
Elimination err: 2.9042472668486836e-6
Inversion error: 4.710803617564571e-6
-----
Size: 20
Rank: 19
Cond: 1.1464358782925982e16
Elimination err: 0.46081448863675906
Inversion error: 0.46076367220202347
-----

```

## Wyniki

Mając do dyspozycji powyższe dane, łatwo zauważyć, że, na ogół, wraz ze wzrostem rozmiaru macierzy rośnie błąd względny obu metod, zarówno eliminacji Gaussa jak i metody inwersji. Po wartościach w dla macierzy Hilberta można wywnioskować złe uwarunkowanie zadania. Wynik dla macierzy losowych są analogiczne, przy czym błędy obliczeń są mniejsze, jak i również ich tempo wzrostu nie jest tak duże jak w przypadku macierzy Hilberta.

## Zadanie 4

### Cel zadania

Celem zadania było obliczenie miejsc zerowych wielomianu Wilkinsona (zarówno w postaci kanonicznej jak i iloczynowej):

$$p(x) = \prod_{i=1}^{20} (x - i)$$

Następnie powtórzyć eksperyment, ale zmienić współczynnik  $-210$  na  $-210 - 1^{-23}$

## Wyniki i wykonanie

Do wykonania zadania posłużył następujący algorytm (użyty został pakiet *Polynomials*):

```
function find_roots([coff])
    canonical_figure, product_figure = Poly(reverse(coff)), poly(Float64[1.0:20.0;])
    coff_roots = roots(canonical_figure)

    for k in 1:20
        println("k=", k)
        println("zk=", coff_roots[k])
        println("|P(zk)| =", abs(polyval(canonical_figure, coff_roots[k])))
        println("|P(zk)| =", abs(polyval(product_figure, coff_roots[k])))
        println("|zk-k|=", abs(coff_roots[k] - k))
        println("-----")
    end
end
```

Wyniki dla wielomianu wyjściowego:

```
=====BASE COFFICIENT=====
k=1
zk=0.9999999999996989
|P(zk)| =36352.0
|P(zk)| =38400.0
|zk-k|=3.0109248427834245e-13
-----
k=2
zk=2.00000000000283182
|P(zk)| =181760.0
|P(zk)| =198144.0
|zk-k|=2.8318236644508943e-11
-----
k=3
zk=2.9999999995920965
|P(zk)| =209408.0
|P(zk)| =301568.0
|zk-k|=4.0790348876384996e-10
-----
k=4
zk=3.9999999837375317
|P(zk)| =3.106816e6
|P(zk)| =2.844672e6
|zk-k|=1.626246826091915e-8
-----
k=5
zk=5.000000665769791
|P(zk)| =2.4114688e7
|P(zk)| =2.3346688e7
|zk-k|=6.657697912970661e-7
-----
k=6
zk=5.999989245824773
|P(zk)| =1.20152064e8
|P(zk)| =1.1882496e8
|zk-k|=1.0754175226779239e-5
-----
k=7
zk=7.000102002793008
|P(zk)| =4.80398336e8
|P(zk)| =4.78290944e8
|zk-k|=0.00010200279300764947
-----
```

```
k=8
zk=7.999355829607762
|P(zk)| =1.682691072e9
|P(zk)| =1.67849728e9
|zk-k|=0.0006441703922384079
-----
k=9
zk=9.002915294362053
|P(zk)| =4.465326592e9
|P(zk)| =4.457859584e9
|zk-k|=0.002915294362052734
-----
k=10
zk=9.990413042481725
|P(zk)| =1.2707126784e10
|P(zk)| =1.2696907264e10
|zk-k|=0.009586957518274986
-----
k=11
zk=11.025022932909318
|P(zk)| =3.5759895552e10
|P(zk)| =3.5743469056e10
|zk-k|=0.025022932909317674
-----
k=12
zk=11.953283253846857
|P(zk)| =7.216771584e10
|P(zk)| =7.2146650624e10
|zk-k|=0.04671674615314281
-----
k=13
zk=13.07431403244734
|P(zk)| =2.15723629056e11
|P(zk)| =2.15696330752e11
|zk-k|=0.07431403244734014
-----
k=14
zk=13.914755591802127
|P(zk)| =3.65383250944e11
|P(zk)| =3.653447936e11
|zk-k|=0.08524440819787316
-----
```

```
k=15
zk=15.075493799699476
|P(zk)| =6.13987753472e11
|P(zk)| =6.13938415616e11
|zk-k|=0.07549379969947623
-----
k=16
zk=15.946286716607972
|P(zk)| =1.555027751936e12
|P(zk)| =1.554961097216e12
|zk-k|=0.05371328339202819
-----
k=17
zk=17.025427146237412
|P(zk)| =3.777623778304e12
|P(zk)| =3.777532946944e12
|zk-k|=0.025427146237412046
-----
k=18
zk=17.99092135271648
|P(zk)| =7.199554861056e12
|P(zk)| =7.1994474752e12
|zk-k|=0.009078647283519814
-----
k=19
zk=19.00190981829944
|P(zk)| =1.0278376162816e13
|P(zk)| =1.0278235656704e13
|zk-k|=0.0019098182994383706
-----
k=20
zk=19.999809291236637
|P(zk)| =2.7462952745472e13
|P(zk)| =2.7462788907008e13
|zk-k|=0.00019070876336257925
-----
```

Wynik dla wielomianu ze zmodyfikowanym współczynnikiem:

```
=====MODIFIED COFFICIENT
k=1
zk=0.9999999999998357 + 0.0im
|P(zk)| =20992.0
|P(zk)| =22016.0
|zk-k|=1.6431300764452317e-13
-----
k=2
zk=2.00000000000550373 + 0.0im
|P(zk)| =349184.0
|P(zk)| =365568.0
|zk-k|=5.503730804434781e-11
-----
k=3
zk=2.99999999660342 + 0.0im
|P(zk)| =2.221568e6
|P(zk)| =2.295296e6
|zk-k|=3.3965799062229962e-9
-----
k=4
zk=4.000000089724362 + 0.0im
|P(zk)| =1.046784e7
|P(zk)| =1.0729984e7
|zk-k|=8.972436216225788e-8
-----
k=5
zk=4.99999857388791 + 0.0im
|P(zk)| =3.9463936e7
|P(zk)| =4.3303936e7
|zk-k|=1.4261120897529622e-6
-----
k=6
zk=6.000020476673031 + 0.0im
|P(zk)| =1.29148416e8
|P(zk)| =2.06120448e8
|zk-k|=2.0476673030955794e-5
-----
k=7
zk=6.99960207042242 + 0.0im
|P(zk)| =3.88123136e8
|P(zk)| =1.757670912e9
|zk-k|=0.00039792957757978087
-----
k=8
zk=8.007772029099446 + 0.0im
|P(zk)| =1.072547328e9
|P(zk)| =1.8525486592e10
|zk-k|=0.007772029099445632
-----
k=9
zk=8.915816367932559 + 0.0im
|P(zk)| =3.065575424e9
|P(zk)| =1.37174317056e11
|zk-k|=0.0841836320674414
-----
k=10
zk=10.095455630535774 - 0.6449328236240688im
|P(zk)| =7.143113638035824e9
|P(zk)| =1.4912633816754019e12
|zk-k|=0.6519586830380407
-----
k=11
zk=10.095455630535774 + 0.6449328236240688im
|P(zk)| =7.143113638035824e9
|P(zk)| =1.4912633816754019e12
|zk-k|=1.1109180272716561
-----
k=12
zk=11.793890586174369 - 1.6524771364075785im
|P(zk)| =3.357756113171857e10
|P(zk)| =3.2960214141301664e13
|zk-k|=1.665281290598479
-----
k=13
zk=11.793890586174369 + 1.6524771364075785im
|P(zk)| =3.357756113171857e10
|P(zk)| =3.2960214141301664e13
|zk-k|=2.0458202766784277
-----
k=14
zk=13.992406684487216 - 2.5188244257108443im
|P(zk)| =1.0612064533081976e11
|P(zk)| =9.545941595183662e14
|zk-k|=2.518835871190904
-----
k=15
zk=13.992406684487216 + 2.5188244257108443im
|P(zk)| =1.0612064533081976e11
|P(zk)| =9.545941595183662e14
|zk-k|=2.7128805312847097
-----
k=16
zk=16.73074487979267 - 2.812624896721978im
|P(zk)| =3.3151034759817633e11
|P(zk)| =2.7420894016764064e16
|zk-k|=2.9060018735375106
-----
k=17
zk=16.73074487979267 + 2.812624896721978im
|P(zk)| =3.3151034759817633e11
|P(zk)| =2.7420894016764064e16
|zk-k|=2.825483521349608
-----
k=18
zk=19.5024423688181 - 1.940331978642903im
|P(zk)| =9.539424609817828e12
|P(zk)| =4.2525024879934694e17
|zk-k|=2.4540214463129764
-----
k=19
zk=19.5024423688181 + 1.940331978642903im
|P(zk)| =9.539424609817828e12
|P(zk)| =4.2525024879934694e17
|zk-k|=2.0043294443099486
-----
k=20
zk=20.84691021519479 + 0.0im
|P(zk)| =1.114453504512e13
|P(zk)| =1.3743733197249713e18
|zk-k|=0.8469102151947894
-----
```

## Wnioski

Powyższe zadanie jest zadaniem źle uwarunkowanym. Można tu zobaczyć jak mała zmiana współczynnika powoduje duże błędy w późniejszych obliczeniach. Będą te również są skutkiem niedokładności arytmetyki *Float64*, która powoduje błędy zaokrągleń, co sprawia, że wartości współczynników nie mogą być przechowywane z należytą dokładnością.

## Zadanie 5

### Cel zadania

Celem tego zadania było policzenie wartości następującego równania:

$$p_{n+1} = p_n + rp_n(1 - p_n) \text{ dla } n = 0, 1, \dots$$



Przeprowadzono następujące eksperymenty:

1. 40 iteracji dla *Float32*
2. 40 iteracji dla *Float64*
3. 40 iteracji, ucinając wszystko, co 10 iterację, poza 3 pierwszymi miejscami po przecinku

## Wyniki i wykonanie

W celu wyliczenia wartości danego wyrazu równania, posłużono się następującym algorytmem rekurencyjnym:

```
function series_expression(number, r_const, start_val)
    number == 0 && return start_val
    curr_val = series_expression(number-1, r_const, start_val)
    return curr_val + r_const * curr_val * (1 - curr_val)
end
```

Otrzymano następujące wyniki:

```
=====40 iterations=====
-for Float32: 0.25860548
-for Float64: 0.011611238029748606
=====40 iterations cut every 10=====
-value: 0.71587336
```

## Wnioski

Możemy zaobserwować bardzo duże różnice w wynikach dla każdej z 3 prób. Wyniki dla *Float32* są dużo większe niż dla *Float64*. Wynik dla metody z obcięciem dał wynik ok. czterokrotny wzrost wyniku. Jest to doskonały przykład na to jak błędy spowodowane przez niedokładność reprezentacji kumulują się i zaburzają końcowy wynik.

## Zadanie 6

### Cel zadania

Celem zadania było policzenie wartości następującego równania rekurencyjnego:

$$x_{n+1} = x_n^2 + c \text{ dla } n = 0, 1, \dots$$

dla następujących danych:

1.  $c = -2, x_0 = 1$
2.  $c = -2, x_0 = 2$

3.  $c = -2, x_0 = 1.9999999999999999$

4.  $c = -1, x_0 = 1$

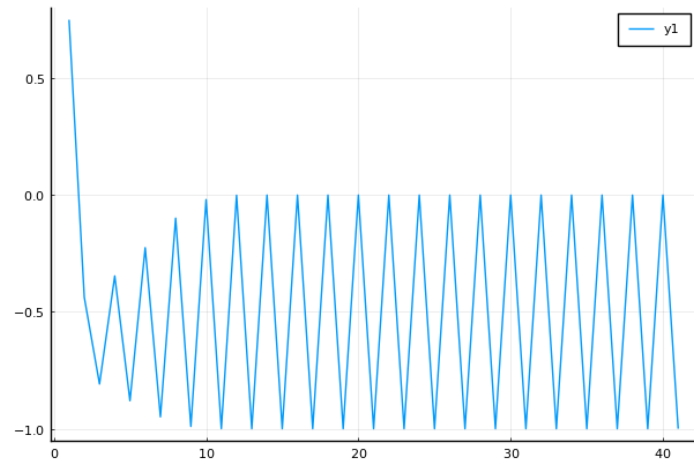
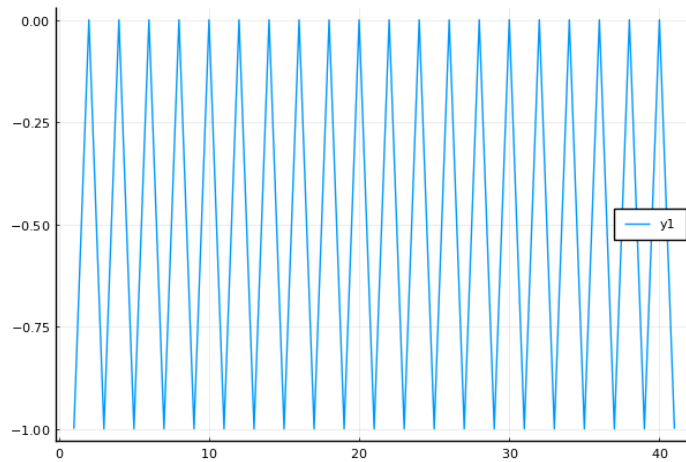
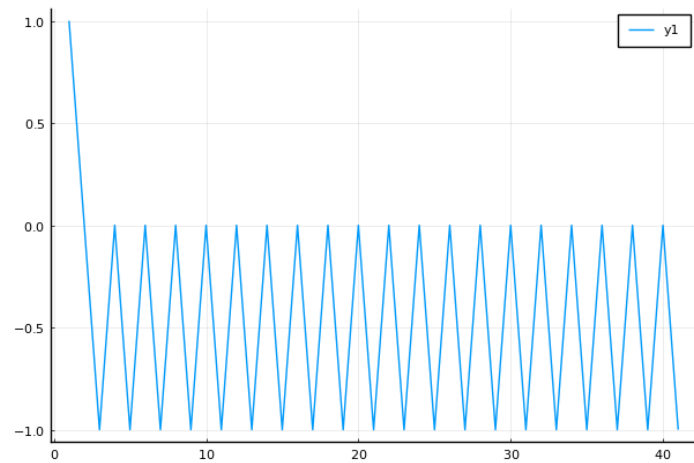
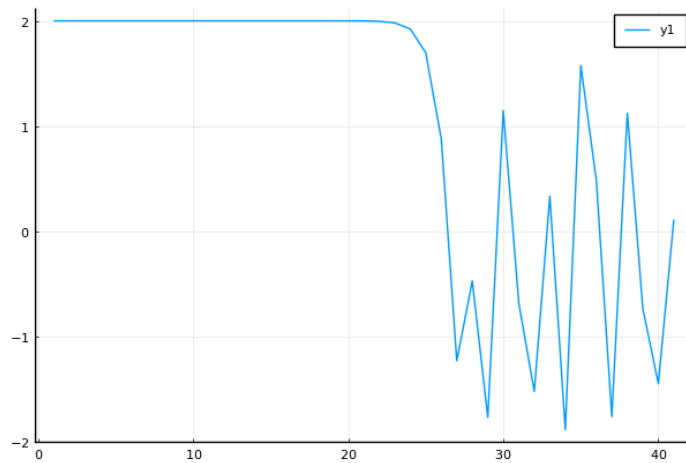
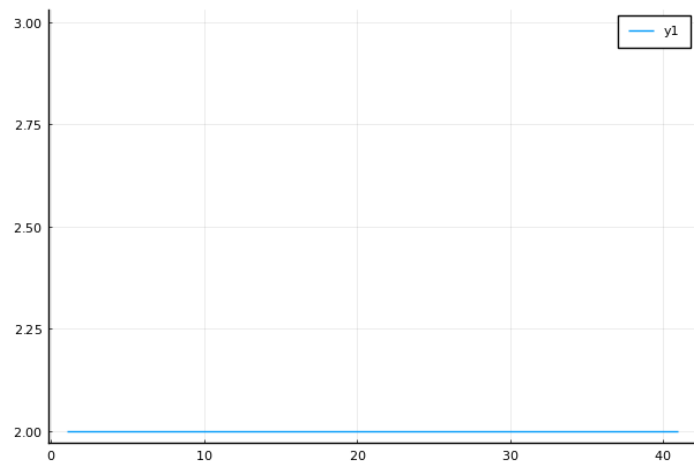
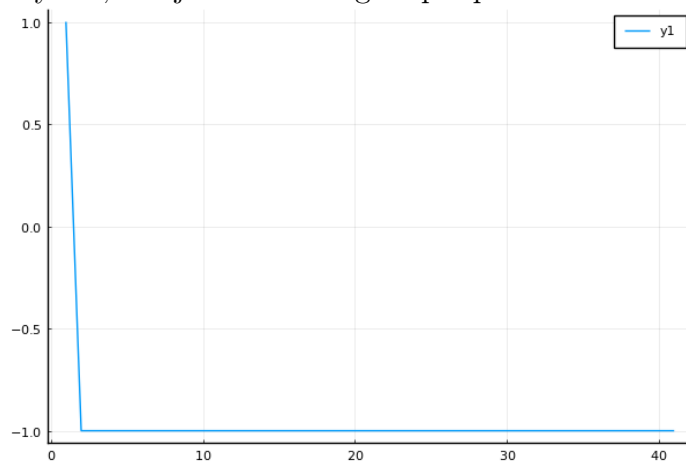
5.  $c = -1, x_0 = -1$

6.  $c = -1, x_0 = 0.75$

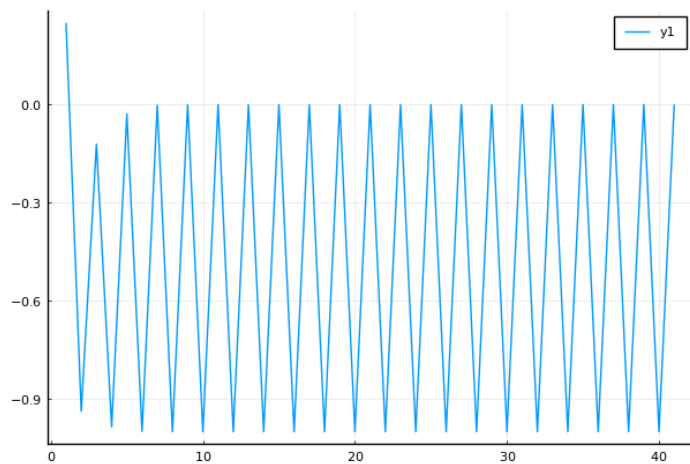
7.  $c = -1, x_0 = 0.25$

## Wyniki i wykonanie

Wyniki, kolejno dla każdego z podpunktów:







## Wnioski

Jak można zauważyć, w 2 pierwszych przypadkach, gdzie  $c = -2$  ciągi mają cały czas taką samą wartość, równą  $x_0$ . W 3 punkcie widać błędy spowodowane niedokładną reprezentacją liczby 1.9999999999999999. Czego skutki potęgują się z każdą kolejną iteracją. Dla pozostałych przypadków ( $c = -1$ ) ciągi praktycznie oscylują pomiędzy dwiema wartościami. Wynika to z tego, że cały czas działamy na liczbach bliskich 0. Podobnie jak w poprzednim zadaniu, doświadczenie te pokazują jak nawarstwiające się małe błędy, powodują dużą rozbierzość w końcowych wynikach. W tym zadaniu jest to potęgowane z powodu użycia funkcji kwadratowej.